

نقشهبرداری رقومی سه بعدی ظرفیت تبادل کاتیونی خاک در منطقه دورود استان لرستان

روح الله تقیزاده‌مهرجردی^{۱*} - علیرضا امیریان چکان^۲ - فریدون سرمدیان^۳

تاریخ دریافت: ۱۳۹۲/۸/۱۲

تاریخ پذیرش: ۱۳۹۳/۶/۲۰

چکیده

ظرفیت تبادل کاتیونی خاک از جمله خصوصیات مهم خاک می‌باشد که در پایگاه‌های داده‌ای مربوط به خاک و به عنوان ورودی در مدل‌های زیست محیطی و نیز مدل‌های مربوط به خاک به کار می‌رود. این مقاله از یک روش جدید برای پیش‌بینی تغییرات مکانی ظرفیت تبادل کاتیونی خاک به طور پیوسته (تا عمق یک متر) در منطقه دورود استان لرستان بهره می‌گیرد. در مطالعه حاضر از ترکیب معادلات عمق اسپیلاین با نواحی یکسان و تکنیک نقشه‌برداری رقومی خاک بهره گرفته شد تا با استفاده از تعداد محدودی نقطه (۱۰۳ نقطه)، تغییرات سطحی و عمقی ظرفیت تبادل کاتیونی خاک در کل محدوده مورد مطالعه بررسی شود. جهت ارتباط دادن ظرفیت تبادل کاتیونی خاک و متغیرهای کمکی به دست آمده از تصاویر ماهواره‌ای و مدل رقومی ارتفاع، از مدل رگرسیون درختی استفاده شد. نتایج نشان داد که در پیش‌بینی پارامتر مذکور، بعضی از پارامترهای کمکی از جمله باند سه تصویر ماهواره و مساحت اصلاح شده حوزه دارای اهمیت بیشتری بودند. همچنین نتایج نشان داد که مدل درختی به خوبی متغیر هدف را در پنج عمق استاندارد با ضریب تبیین ۰/۸۴، ۰/۸۴، ۰/۶۶، ۰/۸۴، ۰/۷۵ و میانگین ریشه مربعات به ترتیب ۱/۱۱، ۱/۱۴، ۱/۱۴، ۰/۲۷ قابل قبول بودند. نتایج تحقیق حاضر نیز نشان داد که استفاده از نقشه‌برداری رقومی، رگرسیون درختی و معادله اسپیلاین با نواحی یکسان ابزارهایی قدرتمند جهت برآورد تغییرات مکانی ظرفیت تبادل کاتیونی خاک به صورت جانبی و عمقی می‌باشد.

واژه‌های کلیدی: رگرسیون درختی، معادلات عمق خاک، نقشه‌برداری رقومی خاک

ارائه دهنده کم است (۱۳). در پاسخ به مشکلات سیستم نقشه‌برداری

قدیم به تدریج روش‌های کمی توسعه یافته است. روش‌های کمی قادر به بیان توزیع جغرافیایی خاک‌ها به شکل بهتر و دقیق‌تر می‌باشند. این روش‌ها تحت عنوان پدومتری در خاکشناسی معرفی شده‌اند (۳۱). در حقیقت نقشه‌برداری با روش‌های پدومتری، نقشه‌برداری رقومی نیز نامیده می‌شود (۲۰). نقشه‌برداری رقومی خاک در واقع توسعه یک مدل عددی یا آماری از رابطه بین متغیرهای محیطی و خصوصیات خاک است که برای داده‌های جغرافیایی زیادی به منظور تولید نقشه رقومی به کار می‌رود (۲۲). سه هدف اصلی نقشه‌برداری رقومی عبارت از: (۱) استنباط رابطه بین متغیرهای محیطی و خصوصیات خاک، (۲) تولید و ارائه داده‌هایی که پیوستگی خاک-زمین‌نما را بهتر نمایش می‌دهند و (۳) پکارگیری صریح دانش کارشناس در طراحی مدل می‌باشد. همچنین نقشه‌برداری رقومی با ایجاد بینشی در مورد فرآیندهای خاکسازی، باعث پیشرفت بالقوه پدولوژی و جغرافیای خاک می‌شود (۳۴). پایه و اساس نقشه‌برداری رقومی خاک مبتنی بر معادله اسکورپن^۵ (۲۰) می‌باشد. در این معادله

از نظر مفهومی روش مرسوم خاکشناسی بر مدل منقطع یا مدل سطحی-کلاسی^۴ خاک‌ها استوار می‌باشد که اساس و زیربنای مدل پلی‌گونی تغییرات متغیرهای طبیعت است (۴۰). نمایش توزیع جغرافیایی خاک‌ها که بر مبنای تفکیک واحدهای نقشه بر روی عکس‌های هوایی و یا نقشه‌های توپوگرافی به همراه کنترل زمینی است، عاری از خطای نیست، زیرا خطای در مشاهده و ترسیم واحدها به علت این که متکی بر قابلیت‌های فردی و تجربی است اجتناب‌ناپذیر می‌باشد (۸). از دیگر مشکلات روش معمول نقشه‌برداری خاک‌ها، وابستگی تعیین حدود و مرز واحدهای خاک به قدرت درک و فهم کارشناس از روابط خاک و محیط است به نحوی که می‌توان گفت احتمال این که چند کارشناس مرز واحدی را از خاک‌های یک ناحیه

۱- استادیار دانشکده کشاورزی و منابع طبیعی، دانشگاه اردکان
۲- نویسنده مسئول: (Email: Rh_taghizade@yahoo.com)

۳- استادیار دانشکده منابع طبیعی، دانشگاه صنعتی خاتم الیاء بهبهان
۴- استاد گروه خاکشناسی، پردیس کشاورزی و منابع طبیعی، دانشگاه تهران
۵- 4-Choroplethmodel

نواحی یکسان^۴ (۲۹) بسیار مناسب و انعطاف‌پذیر می‌باشند. اساساً یک تابع اسپیلاین از مجموعه‌ای از توابع محلی درجه دوم که به شکلی به هم‌دیگر گره^۵ شده‌اند تشکیل شده است. بیشاب و همکاران (۴) کارایی بالای این تابع عمق را نسبت به سایر توابع عمق تایید کرده‌اند. ایشان از توابع اسپیلاین برای پیش‌بینی یکسری از خصوصیات خاک از قبیل واکنش خاک، قابلیت هدایت الکتریکی، درصد رس، ماده آلی خاک و میزان رطوبت حجمی خاک استفاده کردند. پر واضح است که توابع عمق خاک (اسپیلاین با نواحی یکسان) پیش‌بینی خصوصیات خاک را در یک نقطه به خوبی انجام می‌دهد. اما با رویکرد مکانی، مجموعه‌ای از این توابع باعث ایجاد یکسری نقاط فردی در منطقه می‌گردد. اما برای استفاده کنندگان خاک شاید این گونه اطلاعات زیاد مفید نباشد و آن‌ها احتیاج به اطلاعات خاک به صورت مکانی و پیوسته دارند. برای پاسخ به این درخواست، می‌توان به نقشه‌برداری رقومی خاک مراجعه کرد (۲۰).

با توجه به قابلیت‌های توابع عمقی خاک (۱۸) و نقشه‌برداری رقومی خاک (۱۶) به نظر می‌رسد که تنها راه برای پیش‌بینی سطحی و عمقی خصوصیات خاک، استفاده همزمان از این روش‌ها می‌باشد. همانطور که ملانو و همکاران (۱۸) با کاربرد همزمان اسپیلاین با نواحی یکسان و نقشه‌برداری رقومی خاک اقدام به پنهانه‌بندی ماده آلی خاک و ظرفیت نگهداری رطوبتی خاک در استرالیا نمودند. ادگرز و همکاران (۲۷) در آمریکا، سلیمان و همکاران (۳۶) در اندونزی و تقی‌زاده و همکاران (۳۷) در ایران از توابع عمقی خاک و تکنیک‌های نقشه‌برداری رقومی جهت بررسی تغییرات تدریجی عمقی و سطحی متغیرهای خاک استفاده کردند. این تحقیق نیز تلاش دارد تا با استفاده از تکنیک نقشه‌برداری رقومی خاک (مدل رگرسیون درختی) و معادله عمق خاک (اسپیلاین با نواحی یکسان) به بررسی تغییرات مکانی سه بعدی (افقی و عمودی) ظرفیت تبادل کاتیونی خاک در منطقه دورود استان لرستان پردازد.

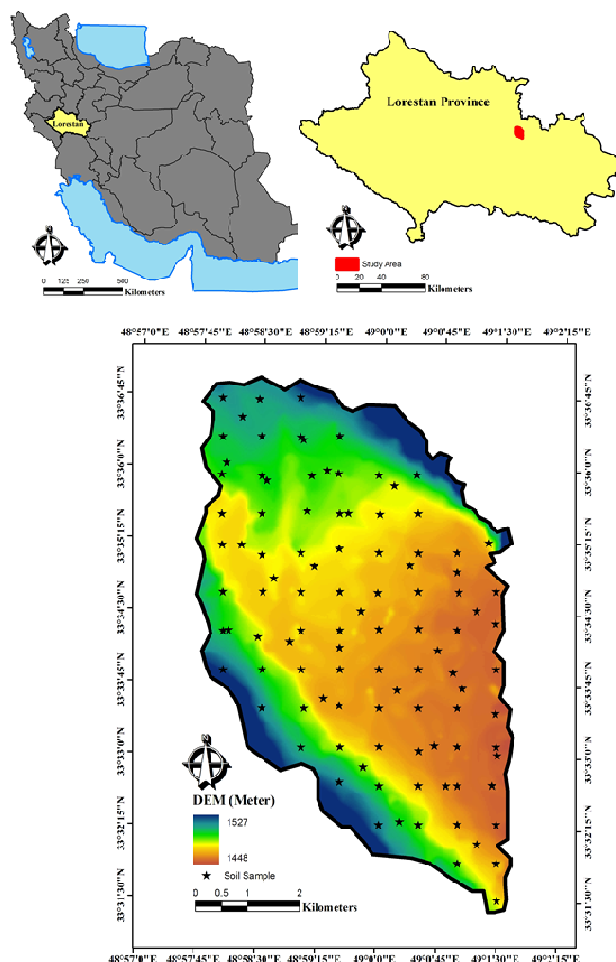
مواد و روش‌ها

منطقه مورد مطالعه

منطقه مورد تحقیق به وسعت تقریبی ۳۶۰۰ هکتار بخشی از دشت سیلانخور واقع در شمال غربی شهرستان دورود استان لرستان می‌باشد (شکل ۱). منطقه بر اساس سیستم UTM در زون ۳۹ واقع شده است و طول آن از ۳۱۱۳۴۰ تا ۳۱۶۵۹۰ متر و عرض آن از ۱۶۰۰۴ تا ۳۷۱۱۲۵۰ درجه سانتی‌گراد، بارش سالیانه ۶۶۴/۹۴ میلی‌متر و تبخیر سالیانه برابر با ۳۱۰/۷ میلی‌متر می‌باشد.

خصوصیات یا کلاس خاک با یکسری متغیرهای محیطی (متغیرهای کمکی) ارتباط داده می‌شود. به این صورت که در هر موقعیت مشاهده‌ی خاک، یک سری متغیرهای محیطی وجود دارد که همبستگی بالایی با خصوصیات یا کلاس‌های خاک دارند که یافتن این ارتباط و پیش‌بینی خصوصیات یا کلاس‌های خاک در نقاط دیگر، منجر به تهیه نقشه رقومی خاک در تمام منطقه مورد مطالعه می‌گردد. بنابراین جزء اصلی معادله اسکورین برنامه یادگیری (مدل پیش‌بینی کننده)^۱ می‌باشد. برای پیش‌بینی خصوصیات خاک می‌توان از مدل‌های مختلفی از جمله رگرسیون چند متغیره (۲۵)، رگرسیون غیر خطی، شبکه عصبی مصنوعی (۳ و ۱۱) رگرسیون درختی (۳۸ و ۲۳)، سیستم فازی تطبیق پذیر مبتنی بر شبکه عصبی (۱۷) و الگوریتم ژنتیک (۲۶ و ۲۸) بهره گرفت. در این میان، مدل‌های درختی در مقایسه با سایر روش‌ها دارای مزایایی از جمله قابلیت تفسیر بالا، عدم وابستگی به داده‌های پرت، انعطاف‌پذیری به روابط غیرخطی و عدم وابستگی به توزیع داده‌ها می‌باشند (۲۴). اما نکته قابل توجه این است که نقشه‌برداری رقومی خاک، در حال حاضر تها به پیش‌بینی متغیرهای خاک در عمق‌های مشخص شده می‌پردازد و کمتر به ویژگی تدریجی بودن تغییرات داخل خاک توجه دارد (۱۲ و ۳۵). این در حالی است که تغییرات خصوصیات خاک در عمق به صورت تدریجی می‌باشد (۲۹).

لذا محققین، توابع گستته و پیوسته عمق خاک را با این رویکرد که بتوانند تغییرات تدریجی خاک را مدل‌سازی کنند توسعه داده‌اند. اگر از توابع عمق گستته^۲، برای پیش‌بینی ویژگی خاک در عمق مشخص استفاده شود، اغلب با خطأ همراه می‌باشد (۴). بنابراین تاکنون تلاش‌های بسیار زیادی جهت ایجاد توابع عمق پیوسته انجام شده است. اولین تلاش‌ها مربوط به پنی (۱۵) می‌شود که سعی در ترسیم منحنی دستی بین نقاط اندازه‌گیری شده افق‌ها نمود. با مرور زمان و ایجاد روش‌های آماری جدید، توابع عمقی نمایی متولد گردید (۳۲). میانزنی و همکاران (۳۳) اشاره داشتند که برآذش منحنی‌های نمایی به داده‌های کربن آلی نتایج قابل قبولی را در پی داشته است. رگرسیون خطی و چندجمله‌ای‌های مرتبه ان ام از توابع عمقی بعدی بودند که توسط محققین مختلف ارائه گردید. اما نقطه ضعف این روش‌ها این بود که مقادیر ویژگی خاک در هر عمق بر روی شکل کل تابع تاثیر می‌گذشت (۲۹). بنابراین انعطاف‌پذیر نبودن این روش‌ها باعث نتایج غیرواقعی از برآذش مدل می‌شد. صرفنظر از نوع متغیر مورد بررسی، روش اسپیلاین مسطح شده^۳ (۹) و اسپیلاین با



شکل ۱- پراکنش نقاط نمونهبرداری شده بر روی مدل رقومی ارتفاع

مدل اسکورپن

پایه و اساس نقشهبرداری نوین مبتنی بر معادله اسکورپن^۱ (۲۰) میباشد (معادله ۱). در این معادله خصوصیات^۲ یا کلاس خاک^۳ با یکسری متغیرهای محیطی (متغیرهای کمکی)^۴ ارتباط داده میشود. به این صورت که در هر موقعیت مشاهده خاک، یک سری متغیرهای محیطی وجود دارد که همبستگی بالایی با خصوصیات یا کلاس‌های خاک دارند که یافتن این ارتباط و پیش‌بینی خصوصیات یا کلاس‌های خاک در نقاط دیگر، منجر به تهیه نقشه رقومی خاک در تمام منطقه مورد مطالعه^۵ میگردد.

$$S_{c,a} = f(s, c, o, r, p, a, n) + e \quad (1)$$

1- SCORPAN

2- Soil attributes

3- Soil class

4- Auxiliary variables

5- Area of interest

بر اساس نقشه زمین‌شناسی ۱:۱۰۰۰۰۰ بروجرد، این دشت عمدتاً از رسوبات آبرفتی شامل پادگانهای بلند و قدیمی، پادگانهای کم ارتفاع و جوان و رسوبات رودخانهای مربوط به دوره کواترنر تشکیل شده است. آبرفت‌های عهد حاضر در این منطقه بسته به جایگاه رسوب‌گذاری، ترکیب و اندازه رسوبات و نوع گسترش متفاوت میباشند. رسوبات کفه رسی و آبرفت‌های رودخانه‌ای از انواع این رسوبات میباشند که در دشت سیالخور و بستر رودخانه‌ها تشکیل میشوند. بر اساس داده‌های اقلیمی ایستگاه هواشناسی شهرستان دورود رژیم رطوبتی خاک‌های منطقه زریک و رژیم حرارتی آن‌ها ترمیک تعیین گردید. با توجه به مطالعات صحرایی و آزمایشگاهی و بر اساس سیستم ردیبندی آمریکایی، خاک‌های منطقه در دو ردۀ انتی‌سول و اینسپتی‌سول و چهار زیررده Calcixerpts، Xerofluvents، Xerorthents، Haploxererts طبقه‌بندی گردیدند.

میانگین (\bar{x}) در فاصله (x_{i-1}, x_i) و مقدار خطای اندازه‌گیری شده با میانگین صفر می‌باشد. ($f(x)$) که در حقیقت معادله اسپیلان می‌باشد را می‌توان از کمینه کردن معادله ۳ بدست آوریم.

$$\frac{1}{n} \sum_{i=1}^n (y_i - f_i)^2 + \lambda \int_{x_0}^{x_n} [f_i'(x)]^2 dx \quad (3)$$

اولین جمله مقدار معادله برازش شده به داده واقعی را نشان می‌آید. دهدو دومین جمله ناهمواری اسپیلان را تعیین می‌کند. پارامتر λ نیز میزان انحراف منحنی را نشان می‌دهد. لازم به ذکر می‌باشد که ضربی لاندا در معادله اسپیلان باید بهینه شود، بنابراین ضرایب مختلفی (۱، ۱، ۰/۱، ۰/۰۱، ۰/۰۰۱) مورد استفاده قرار گرفت و نتایج برای برگردان بهترین لاندا مقایسه گردید. در حقیقتراه حل، اسپیلان خطی- چندجمله‌ای می‌باشد. رابطه خطی مقادیر خصوصیت خاک را در بین لایه‌ها و رابطه چندجمله‌ای مقادیر خصوصیت خاک را درون لایه‌ها پیش‌بینی می‌کند. بعد از برازش دادن معادله اسپیلان مورد نظر به هر یک از پروفیل‌های خاک مقادیر پارامتر مورد نظر در عمق‌های استاندارد ۵-۱۰، ۱۰-۳۰، ۳۰-۶۰ و ۶۰-۱۰۰ سانتی-متری مطابق با استاندارد جهانی خاک از معادله استخراج گردید.

داده‌های کمکی

بر اساس مدل اسکورین در نقشه‌برداری رقومی خاک، علاوه بر داده‌های خاک نیاز به داده‌های کمکی می‌باشد. در پژوهش حاضر از مدل رقومی وبسایت مدل رقومی ارتفاع سازمان زمین‌شناسی آمریکا (قدرت تفکیک مکانی ۹۰ متر) استفاده گردید (۳۹). بعد از آماده کردن مدل رقومی ارتفاع، از آن برای استخراج اطلاعات کمکی یا تصاویر تخمین زنده متغیرهای ژنتیکی خاک استفاده گردید. پارامترهای پستی و بلندی از قبیل شیب، ارتفاع، ارتفاع بالای شبکه زهکشی^۱، مساحت حوزه‌های اصلاح شده^۲، موقعیت میانی شیب^۳، عمق دره^۴، شاخص خیسی^۵، شاخص همواری دره با درجه تفکیک بالا^۶، شاخص‌بالای پشتنه با درجه تفکیک بالا^۷ و شیب حوزه در محیط سامانه جغرافیایی ساگا (SAGA GIS) محاسبه و استخراج گردید. روش استخراج تمام پارامترهای مذبور در روش ارائه شده توسط هنگل و روزیتر (۱۴) تشریح گردیده است. همچنین در این مطالعه از تصاویر ماهواره‌ای سنجده ETM+ استفاده گردید. تصاویر این سنجده مربوط به تابستان ۱۳۹۲ می‌باشد. این تصویر از ۶ باند (باند ۱: ۰/۴۵-۰/۵۲-۰/۶۹-۰/۶۳؛ باند ۲: ۰/۵۲-۰/۶۰-۰/۶۰؛ میکرومتر، باند ۳: ۰/۶۰-۰/۵۲؛ میکرومتر، باند ۴: ۰/۴۵-۰/۵۲؛ میکرومتر، باند ۵: ۰/۴۵-۰/۵۲؛ میکرومتر، باند ۶: ۰/۴۵-۰/۵۲؛ میکرومتر، باند ۷: ۰/۴۵-۰/۵۲؛ میکرومتر) می‌باشد.

1- Altitude above channel network

2- Modified catchment area

3- Mid-slop position

4- Valley depth

5- Wetness index

6- Multi-resolution Valley Bottom Flatness

7- Multi-resolution Ridge Top Flatness

در این معادله $y_i = f_i + e_i$: کلاس خاک، S : مربوط به اطلاعات خاک که از نقشه خاک یا پایگاه داده یا دانش کارشناس به دست می‌آید، C : اقلیم، O : موجودات زنده از جمله فعالیت انسانی، a : پستی و بلندی یا توپوگرافی، p : مواد مادری، t : زمان و n : موقعیت مکانی می‌باشد. تابع f یک طبقه‌بندی نظارت شده یا برنامه یادگیری نظارت شده را نشان می‌دهد. تابع f برای پیش‌بینی خصوصیات خاک می‌تواند رگرسیون درختی (مینازنی و همکاران، ۲۰۰۷) باشد. بنابراین سه جزء اصلی معادله اسکورین شامل داده‌های خاک، متغیرهای محیطی و برنامه یادگیری می‌باشد که متعاقباً مورد بحث قرار می‌گیرند.

داده خاک

در این تحقیق نمونه برداری از ۱۰۳ نقطه در منطقه انجام گرفت. برای برداشت نمونه‌ها ابتدا در محیط نرم افزار ArcGIS یک شبکه منظم به فواصل ۷۵۰ متر بر روی تصویر ماهواره‌ای ETM⁺ منطقه مورد نظر قرار داده شد. سپس بر اساس مختصات نقاط شبکه و با استفاده از دستگاه GPS محل نمونه‌ها در صحرا مشخص گردید. از این تعداد، ۷۵ نقطه بر اساس شبکه منظم برای حفر پروفیل و مته به صورت یک در میان، و ۲۸ نقطه به صورت تصادفی و در فواصل بین نقاط شبکه منظم برای حفر مته در نظر گرفته شد. سپس نمونه‌های خاک تا عمق ۱۰۰ سانتی‌متری از محل‌های انتخاب شده برداشت شد و برای مطالعات بعدی به آزمایشگاه منتقل گردیدند. نمونه‌های خاک پس از خشک شدن کوبیده و از الک ۲ میلی‌متری عبور داده شد. سپس تحزیه‌های فیزیکی و شیمیایی رایج بر روی آن‌ها انجام گرفت. بافت خاک به روش هیدرومتر، ماده آلی به روش والکلی و بلک و CEC به روش اشباع با استات آمونیم اندازه‌گیری شد. برای پیش‌بینی ظرفیت تبادل کاتیونی نیاز به استاندارد کردن اعماق خاک می‌باشد. برای نیل به این هدف، از معادله عمق خاک از نوع اسپیلانین با نواحی یکسان استفاده گردید (۱۸، ۴). این معادله اسپیلانین، حالت توسعه یافته مدل بیشاب و همکاران (۴) می‌باشد. معادله ایشان تنها مقادیر خصوصیت خاک را در افق‌ها، میان‌گیری می‌کند. معادله بهبود یافته به صورت ریاضی ظرفیت تبادل کاتیونی در هر عمقی بر اساس معادله ۲ محاسبه می‌شود:

$$y_i = f_i + e_i \quad (2)$$

در آن y_i مقدار پیش‌بینی شده در عمق i می‌باشد. باید در نظر گرفت که تغییرات خصوصیات خاک نسبت به عمق تدریجی تغییر می‌کند. این جمله را می‌توان به صورت ریاضی تبدیل کرد. فرض کنید که X عمق خاک؛ $f(X)$ تابع عمق که مقدار واقعی خاک را توصیف می‌کند. این نشان می‌دهد که تابع $f(X)$ f_i و مشتقات آن f_i' پیوسته هستند و همچنین $f(X)$ مشتق پذیر می‌باشد. e_i مقدار

تمامی نمونه‌هایی که به گره موردنظر می‌رسند تغییرات ناچیزی داشته باشد و یا تعداد کمی از نمونه‌ها باقی بمانند، متوقف می‌شود. کاهش انحراف معیار با استفاده از رابطه ۴ محاسبه می‌شود.

$$SDR = sd(T) - \sum_i \frac{Ti}{T} \times sd(Ti) \quad (4)$$

در رابطه ۴ شامل نمونه‌هایی است که به گره رسیده‌اند و Ti مجموعه‌هایی است که از تقسیم کردن گره بر اساس صفت انتخابی به دست آمداند. sd نیز انحراف معیار است. پس از ایجاد درخت، یک مدل رگرسیون خطی چندگانه ساخته می‌شود. این مدل بر اساس داده‌های وابسته به آن گره و تمامی صفاتی که در زیردرخت با ریشه آن گره مورد استفاده قرار گرفته‌اند، ایجاد می‌شود. در مرحله بعد مدل‌های رگرسیون خطی، با کنار گذاشتن صفاتی که حذف آن‌ها باعث کاهش میانگین خطای شود، ساده‌سازی می‌شوند. بعد از این ساده‌سازی، هر زیردرخت برای انجام عملیات هرس کردن مورد بررسی قرار می‌گیرد. اگر خطای تخمین زده شده برای مدل خطی در ریشه زیردرخت، کوچک‌تر یا مساوی میانگین خطای درخت باشد، زیردرخت هرس می‌شود. بعد از عملیات هرس کردن، ناپیوستگی زیادی بین مدل‌های خطی مجاور در برگ‌های درخت هرس شده ایجاد می‌شود. در فرایند هموارسازی در $M5$ ، مدل نهایی در یک برگ از ترکیب کردن مدل به دست آمده که در آن برگ با مدل‌های موجود در مسیر ریشه تا برگ مربوطه، به دست می‌آید. لازم به ذکر می‌باشد که در مدل اسکورین داده‌های ظرفیت تبادل کاتیونی خاک در پنج عمق به عنوان متغیر وابسته و داده‌های محیطی به عنوان متغیر مستقل در نظر گرفته شدن و مدل رگرسیون درختی ارتباط بین آن‌ها را بدست می‌آورد. برای ارزیابی مدل، در این بررسی، داده‌ها به دو دسته آموزش (۲۰٪ درصد از داده‌های نمونه‌برداری شده) و آزمون (۲۰٪ درصد از داده‌های نمونه‌برداری شده) به طور تصادفی تقسیم شدند. برای بررسی عملکرد مدل در برآورد متغیرهای وابسته (ظرفیت تبادل کاتیونی خاک در پنج عمق استاندارد) از ضریب همیستگی و ریشه مربعات خطای استفاده گردید.

نتایج و بحث

خلاصه آماری داده‌ها

برای تعییه نقشه رقومی ظرفیت تبادل کاتیونی خاک به صورت سه بعدی ابتدا نیاز به دست آوردن ضریب لاندا مربوطه با معادله نواحی یکسان شده اسپلاین یا معادله عمق خاک می‌باشد. برای نیل به این هدف ضرایب مختلف که دامنه‌ای از ۰/۰۰۰۱ تا ۱۰ داشتند مورد ارزیابی قرار گرفتند و بر اساس نتایج ارزیابی مدل بروی داده‌های آزمون و همچنین تفسیر بصیر مدل‌های عمق خاک مشخص شد که ضریب لاندا ۱/۰ بسیار مناسب می‌باشد. ملانو و همکاران (۱۸) و

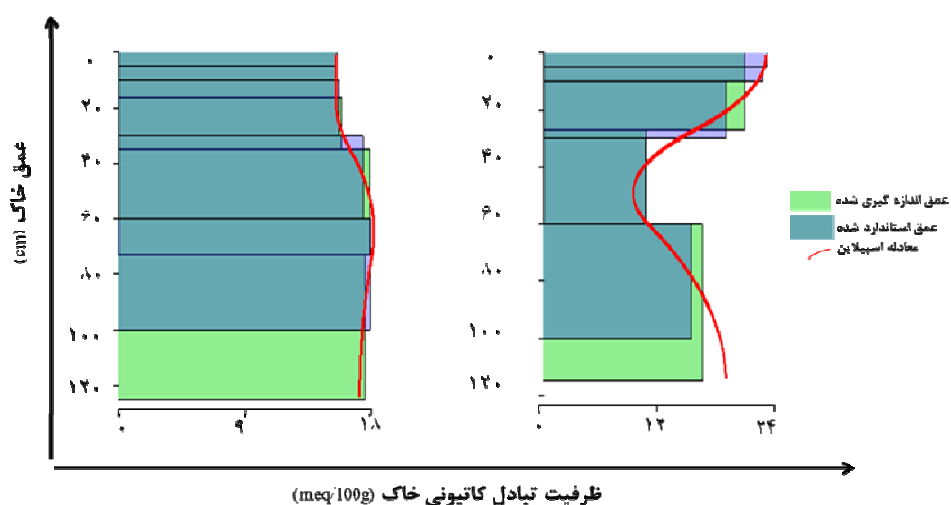
میکرومتر، باند ۴: ۷۶/۰-۹۰/۰ میکرومتر، باند ۵: ۱/۵۵-۱/۷۵ میکرومتر، باند ۷: ۰/۲۵-۰/۲۰۸ میکرومتر) تشکیل شده است. همچنین تمام لایه‌های اطلاعاتی یا کمکی به فرمت رستری با اندازه پیکسل ۹۰ متری مطابق با استاندارد جهانی خاک تهیه شدند و برای انجام فرآیند مدل‌سازی در نرم‌افزارهای مربوطه آماده شدند.

مدل‌مکانی

سومین جزء معادله اسکورین مدل مکانی می‌باشد که در تحقیق حاضر از مدل درختی بهره گرفته شد. مدل درختی طبقه‌بندی و رگرسیون، یک روش ناپارامتری الگوریتمی است که قادر به پیش‌بینی متغیرهای کمی (ظرفیت تبادل کاتیونی خاک) یا متغیرهای طبقه‌بندی شده (کلاس‌های خاک) بر اساس مجموعه‌ای از متغیرهای پیش‌بینی کننده کمی و کیفی است. برای اولین بار این روش توسط بریمن و همکاران (۵) گسترش داده شد. درخت تصمیم‌گیری یکی از جدیدترین روش‌های داده کاوی می‌باشد که مشاهدات و اندازه‌گیری‌های انجام شده در مورد مقادیر پارامترهای تاثیرگذار بر مقدار یک پدیده مورد نظر را به شکل قوانینی درآورده و از آن‌ها به منظور پیش‌بینی استفاده می‌کند. درخت تصمیم‌گیری با پرسش یک سری سوال و تعیین مقادیر ممکن برای جواب این سوال، داده‌های ورودی از ریشه را در مسیرهای موجود حرکت داده و در نهایت به یک برگ می‌رساند. داده‌های قرار گرفته در برگ همگی ویژگی یکسانی دارند و آن ویژگی برگ است. درختان تصمیم‌گیری به دو نوع طبقه‌بندی و رگرسیونی تقسیم می‌شوند به این صورت که اگر متغیر پاسخ مقداری گستته باشد به آن طبقه‌بندی و زمانی که درخت مقادیر پیوسته را پیش‌بینی کند نوع رگرسیونی را به آن نسبت می‌دهند. این درختان اعداد را در گره‌های برگ پیش‌بینی می‌کنند و می‌توانند از مدل همبستگی خطی یا ثابت یا مدل‌های دیگر استفاده کنند. وظیفه یادگیری در درختان رگرسیون، پیش‌بینی اعداد حقیقی می‌باشد. جهت انجام فرآیند مدل‌سازی بر اساس روش مدل درختی نیاز به داده‌های اصلی (ظرفیت تبادل کاتیونی) و داده‌های کمکی می‌باشد. پس از آماده سازی این لایه‌های اطلاعاتی به صورت پیکسلی، داده‌ها وارد نرم‌افزار کوبیست (۳۰) گردید و مدل درختی محاسبه گردید. در ابتدا الگوریتم مدل درختی $M5$ با تقسیم کردن فضای نمونه، به صورت برگشته یک درخت رگرسیونی می‌سازد. این تقسیم سازی برای کمینه کردن تغییرات زیرمجموعه‌های درونی مقادیر از ریشه تا گره و از مسیر شاخه‌ها صورت می‌گیرد. تغییرات به وسیله انحراف معیار مقادیری که از ریشه به هر گره رسیده‌اند، با محاسبه کاهش خطای مورد انتظار که از آزمایش هر صفت در آن گره حاصل می‌شود، اندازه‌گیری می‌شود. صفتی که میزان کاهش خطای مورد انتظار را بیشینه کند، انتخاب می‌شود. فرایند جداسازی در صورتی که مقادیر خروجی

عمق آمده است. همان‌طور که نتایج آماری نشان می‌دهد مقدار میانگین ظرفیت تبادل کاتیونی خاک در پنج عمق در حدود ۱۷ تا ۲۰ میلی‌اکی‌والان بر ۱۰۰ گرم می‌باشد و با افزایش عمق مقدار آن کاسته می‌شود. این کاهش می‌تواند به دلیل کاهش درصد ماده آلی با عمق باشد. در بررسی‌های انجام شده در خاک‌های منطقه اصفهان (۲) و خاک‌های مناطق خشک آمریکا (۱۹) همبستگی مثبت و معنی داری بین درصد ماده آلی و ظرفیت تبادل کاتیونی به دست آمد. ضریب تغییرات ظرفیت تبادل کاتیونی خاک در پنج عمق تقریباً شبیه یکدیگر می‌باشد. در حقیقت ضریب تغییرات بالا بوده و گسترهای در حدود ۱۵ تا ۲۵ میلی‌اکی‌والان بر ۱۰۰ گرم را دارند.

ادگرز و همکاران (۲۷) نیز از معادلات عمق اسپیلاین با نواحی یکسان استفاده نمودند و این معادله را یکی از بهترین روش‌ها برای تهییه نقشه‌های سه بعدی متغیرهای خاک معرفی کردند. ملانو و همکاران (۱۸) بیان داشتند که یکی از بهترین روش‌ها برای تشخیص بهترین ضریب لاندا روش چشمی است و همچنین ایشان نتیجه گرفتند که ضریب لاندای مناسب بستگی زیادی به ماهیت و نوع متغیر عمقی دو مطالعه دارد. در شکل ۲ معادله برازش داده شده به مقادیر عمقی دو نمونه خاک با ضریب لاندای ۰/۱ مشاهده می‌شود. پس از به دست آوردن معادله، مقادیر ظرفیت تبادل کاتیونی خاک در پنج عمق (۵-۱۰، ۱۰-۳۰، ۱۰-۶۰ و ۱۰۰-۶۰ سانتی‌متر) استخراج شدند. در جدول ۱ خلاصه آماری داده‌های ظرفیت تبادل کاتیونی خاک در پنج



شکل ۲- معادله عمق از نوع اسپیلاین با نواحی یکسان

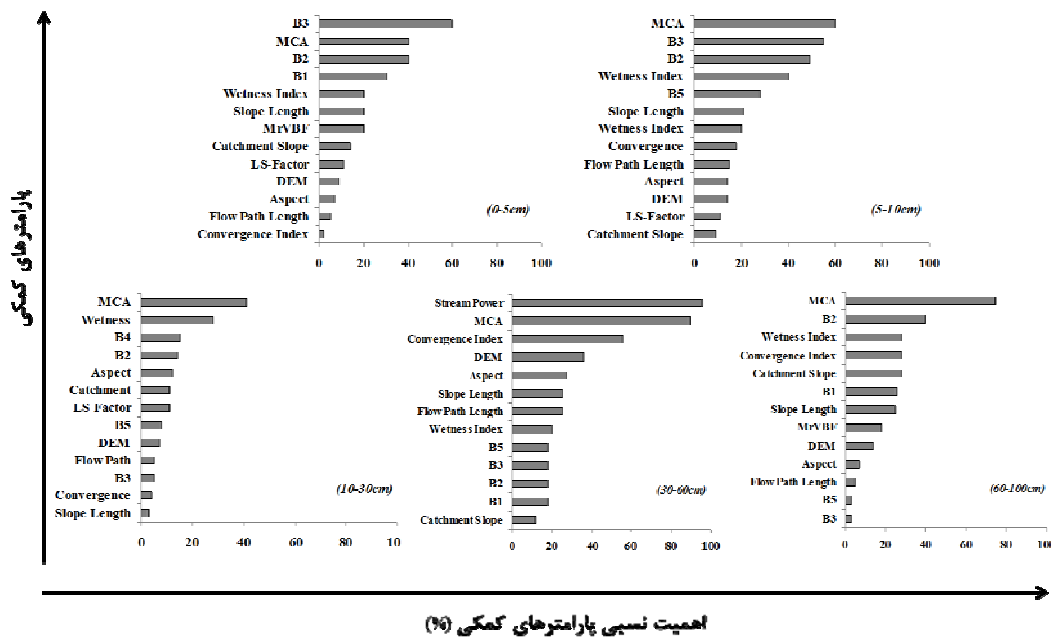
جدول ۱- پارامترهای آماری مربوط به مقادیر ظرفیت تبادل کاتیونی خاک در پنج عمق استاندارد و خصوصیات فیزیکی و شیمیایی خاک در کل منطقه مورد مطالعه

لایه (سانتی متر)	حداقل	حداکثر	میانگین	انحراف معیار	ضریب تغییرات	چارک اول	چارک دوم	چارک سوم
۲۴/۳	۲۱/۹	۱۷/۳	۲۵/۳	۵/۲	۲۰/۸	۳۶/۴	۵/۱	(۰-۵)CEC
۲۴/۱	۲۱/۸	۱۷/۴	۲۴/۸	۵/۱	۲۰/۷	۳۵/۹	۵/۶	(۵-۱۰) CEC
۲۲/۷	۲۱/۲	۱۸/۰	۲۱/۱	۴/۲	۲۰/۱	۳۱/۵	۹/۴	(۱۰-۳۰)CEC
۲۰/۲	۱۹/۷	۱۸/۳	۱۵/۷	۲/۹	۱۸/۵	۲۳/۳	۱۰/۹	(۳۰-۶۰)CEC
۱۹/۲	۱۷/۷	۱۶/۳	۱۵/۵	۲/۷	۱۷/۴	۲۲/۳	۹/۳	(۶۰-۱۰۰)CEC
۵۳/۰۰	۴۷/۲۵	۰/۳۸	۳۲/۲۶	۱۲/۵۹	۴۲/۸۸	۶۶/۳۱	۱۱/۱۳	رس (درصد)
۳۸/۰۰	۳۴/۰۰	۰/۳۱	۱۸/۶۶	۵/۰۳	۳۵/۱۹	۴۹/۲۵	۲۱/۴۲	سیلت (درصد)
۲۶/۶۲	۱۷/۲۵	۱۲/۵	۶۱/۶۸	۱۱/۶۴	۲۱/۸۵	۵۸/۷۱	۶/۸۳	شن (درصد)
۱/۸۱	۱/۱۵	۰/۸۲	۵۸/۶۶	۰/۳۸	۱/۲۰	۲/۳۰	۰/۴۵	کربن آلی (درصد)
۳۱/۱۶	۲۱/۰۲	۱۳/۹۷	۴۶/۳۳	۹/۳۹	۲۱/۸۵	۴۸/۳۸	۹/۴۵	آهک (درصد)
.۹۰	.۶۶	.۵۵	۱۰۳/۲۷	.۹۱	.۹۵	۷/۸۹	.۴۴	شوری (dSm^{-1})

کمترین همبستگی را با داده‌های خاک دارند و علت را مربوط به هموار بودن منطقه مورد مطالعه دانستند. به علاوه نتایج این تحقیق نشان می‌دهد که تصاویر ماهواره مهمنترین پارامتر مخصوصاً در خاک‌های سطحی می‌باشند (۰-۱۰ سانتی‌متر). با توجه به بالاتر بودن ماده آلی در لایه‌های سطحی خاک منطقه، حضور و تجمع ماده آلی به عنوان یک فاکتور اساسی در تعیین مقدار ظرفیت تبادل کاتیونی خاک در این لایه‌ها به راحتی توسط باندهای ماهواره‌ای ETM+ شناسایی شده است. محققین مختلفی کارائی بالای تصاویر ماهواره‌ای را در شناسایی خصوصیات خاک بخصوص مواد آلی گزارش کردند (۲۱ و ۲۲).

پیش‌بینی مکانی ظرفیت تبادل کاتیونی خاک

برای تهیه نقشه رقومی ظرفیت تبادل کاتیونی خاک از اطلاعات محیطی مانند اجزاء سرزمین و تصویر ماهواره ETM+ استفاده گردید. نتایج مدل درختی نشان داد که بعضی از متغیرهای محیطی دارای اهمیت بیشتری می‌باشند. البته میزان این اهمیت در پنج عمق خاک متفاوت می‌باشد. در شکل ۳ درصد اهمیت متغیرهای استفاده شده در مدل‌های درختی پنج عمق خاک ارائه شده است. همان‌طور که دیده می‌شود در عمق بالای خاک (۰-۵ سانتی‌متر) باند سه تصویر ماهواره‌ای بیشترین اهمیت را داشته است، در حالی که در عمق‌های پایین‌تر مساحت اصلاح شده حوضه رتبه اول را به خود اختصاص داده است. اکرم‌خاموف و همکاران (۱) نشان دادند که اجزاء سرزمین



شکل ۳- نتایج اهمیت متغیرهای محیطی در پیش‌بینی ظرفیت تبادل کاتیونی خاک در پنج عمق استاندارد (B1، B2، B3، B4، B5) و باندهای تصویر ماهواره، Aspect جهت شیب، Slope length طول شیب، DEM مدل رقومی ارتفاع، CS شاخص رس، VD شیب حوزه، MrRTF عمق دره، ABCN ارتفاع بالای lengthFlow path قدرت جریان رودخانه، Stream power شاخص خیسی، Wetness Index شبکه زهکشی، Convergence index شاخص همگرایی (Slope length، LS-Factor، Flow Path Length، Convergence index، Wetness Index، Aspect، DEM، Catchment Slope، Slope length، MrVBF، VD، CS، ABCN، Stream power، Wetness Index، Convergence index، Catchment Slope، Slope length، MrVBF، DEM، Aspect، Flow Path Length، B5، B3، B2، B1، H1، H2، H3، VICA، B2، Wetness Index، Convergence Index، Catchment Slope، H1، Slope length، MrVBF، DEM، Aspect، Flow Path Length، B5، B3، B2، B1، H1، H2، H3)

مربعات ۷۵/۱ و ۸۴/۱ می‌باشد. نتایج میانگین خطاب نیز نشان می‌دهد که اندکی انحراف منفی (یا بیش‌برازش) در همه لایه‌های خاک وجود دارد. همچنین نمودار پراکنش نقاط اندازه‌گیری شده در آزمایشگاه و شبیه‌سازی شده توسط مدل در شکل ۴ ارائه شده است. این گراف‌ها نشان می‌دهند که بالاترین دقیقت پیش‌بینی مربوط به عمق‌های سطحی خاک (۰-۳۰ سانتی‌متر) می‌باشد، در حالی که مدل رگرسیون

با استفاده از متغیرهای کمکی که توسط مدل رگرسیون درختی انتخاب گردید (شکل ۳) اقدام به برآورد ظرفیت تبادل کاتیونی خاک در پنج عمق گردید. نتایج ارزیابی مدل‌ها بر اساس معیارهای ریشه مربعات خطاب، میانگین خطاب و ضریب تبیین در جدول ۲ آورده شده است. مطابق با این جدول مشخص می‌شود که بهترین تخمین مربوط به خاک‌های سطحی (۰-۳۰ سانتی‌متر) با دامنه میانگین ریشه

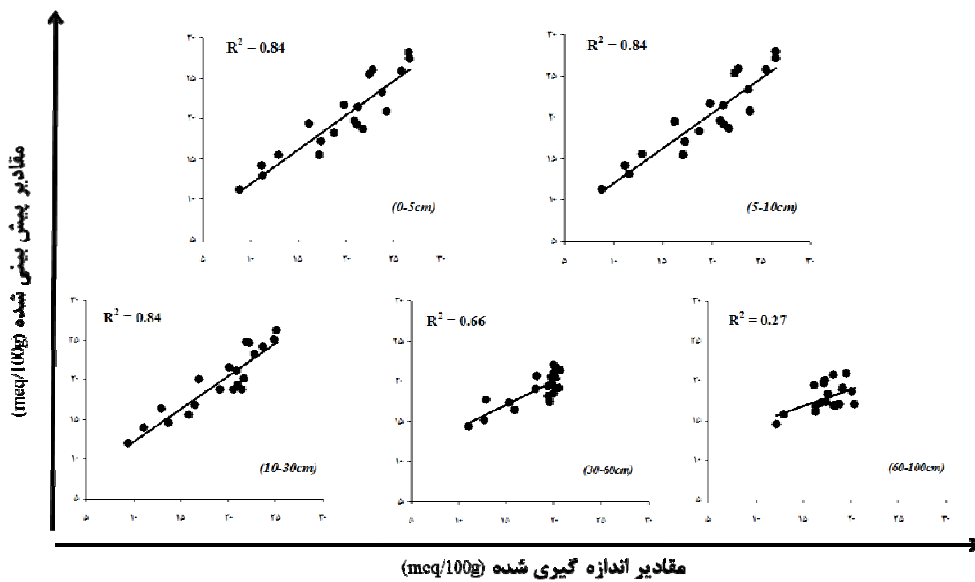
مشابهای از ضریب تبیین را گزارش داده‌اند. ملانو و همکاران (۱۸) بیان داشته‌ند که در نقشه‌برداری رقومی ضریب تبیین بالاتر از 0.70 کمتر و ضریب تبیین پایین‌تر از 0.50 بیشتر معمول می‌باشد (۱۸). بنابراین نتایج به دست آمده از این تحقیق برای 4 عمق بالایی خاک قابل قبول است ولی برای عمق پنجم که ضریب تبیین برابر با 0.27 به دست آمد زیاد قابل اعتماد نمی‌باشد.

با توجه به قوانینی که از مدل رگرسیون درختی به دست آمد، اقدام به پیش‌بینی مکانی ظرفیت تبادل کاتیونی خاک در کل منطقه مورد مطالعه در پنج عمق گردید (شکل ۶). همان‌طور که در این اشکال مشخص است بیشترین ظرفیت تبادل کاتیونی خاک بخصوص در عمق $0\text{--}30$ سانتی‌متری در مناطق شمالی و جنوب منطقه قرار گرفته است. دلیل بالا بودن ظرفیت تبادل کاتیونی در این بخش‌ها مناسب‌تر بودن شرایط خاک برای رشد گیاهان زراعی و بومی و در نتیجه بالاتر بودن درصد ماده آلی خاک می‌باشد.

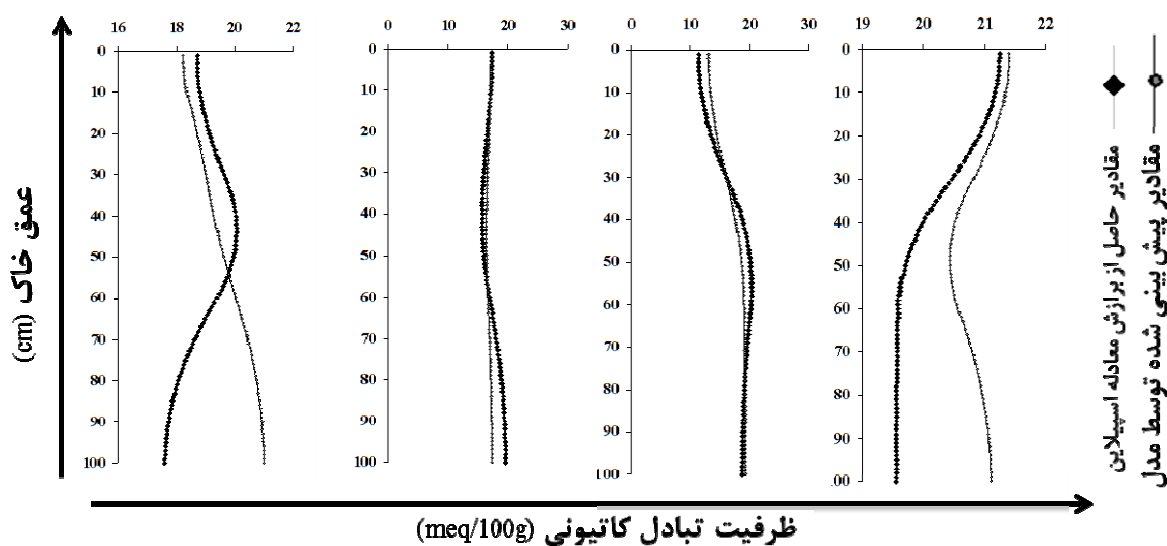
درختی بدترین پیش‌بینی را برای عمق پنجم با میانگین ریشه مربعات $2/16$ داشته است ($0\text{--}60$ سانتی‌متر). این مسئله نشان دهنده این نکته می‌باشد که مجموعه‌ای از متغیرهای محیطی قادر به برقراری ارتباط مناسب با ظرفیت تبادل کاتیونی خاک در اعماق خاک نمی‌باشند. به عنوان نمونه گراف‌های مقادیر معادله اسپلاین و مقادیر پیش‌بینی شده ظرفیت تبادل کاتیونی خاک توسط مدل رگرسیون درختی برای 4 نقطه مطالعاتی در شکل ۵ ارایه گردیده است. همان‌طور که ملاحظه می‌شود می‌توان تصویری از تغییرات ظرفیت تبادل کاتیونی خاک را به صورت عمودی از سطح خاک تا عمق 100 سانتی‌متر داشته باشیم. به نظر می‌رسد که مدل رگرسیون درختی انتخاب شده به خوبی توانسته است که نشانه رقومی ظرفیت تبادل کاتیونی خاک را در سه بعد شبیه‌سازی کند. مقادیر ضریب تبیین از سطح تا عمق چهارم خاک دامنه‌ای در حدود 0.84 الی 0.66 دارند که در مقایسه با نتایج سایر محققین دامنه‌ای قابل قبول می‌باشد. رایان و همکاران (۳۳)، فلورنسکی و همکاران (۱۰) و ملانو و همکاران (۱۸) نتایج

جدول ۲- نتایج معیارهای ارزیابی خطاب بر اساس روش رگرسیون درختی (آزمون)

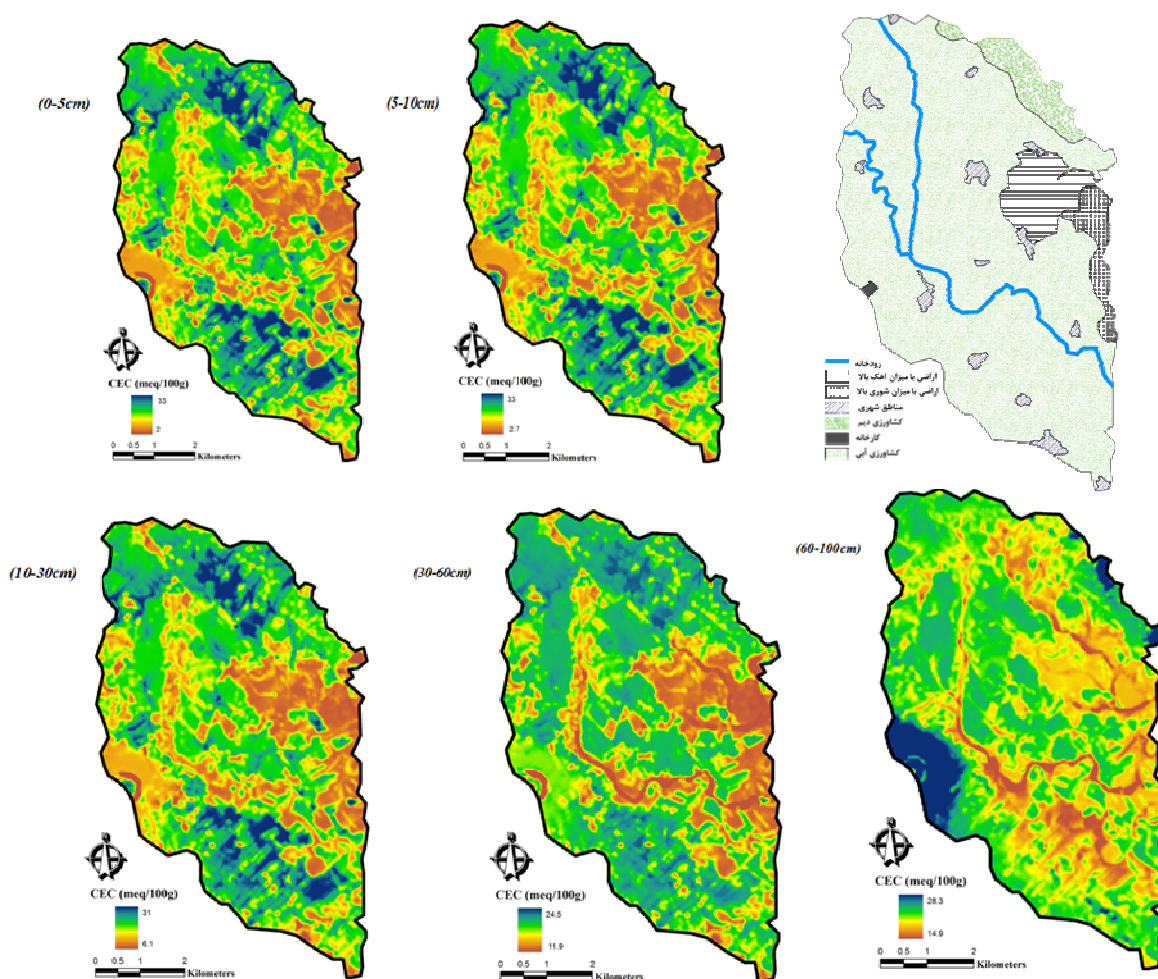
عمق (سانتی‌متر)	ریشه مربعات خطاب	ضریب تبیین	میانگین خطاب
- $0/39$	$0/84$	$1/75$	($0\text{--}5$) CEC
- $0/54$	$0/84$	$1/84$	($5\text{--}10$) CEC
- $0/52$	$0/84$	$1/84$	($10\text{--}30$) CEC
- $0/65$	$0/66$	$2/11$	($30\text{--}60$) CEC
- $0/69$	$0/27$	$2/16$	($60\text{--}100$) CEC



شکل ۴- نتایج پراکنش مقادیر اندازه‌گیری شده ظرفیت تبادل کاتیونی خاک در مقابل شبیه‌سازی شده



شکل ۵- مقادیر اندازه‌گیری شده در مقابل شبیه‌سازی شده تا عمق ۱۰۰ سانتی‌متری بوسیله مدل رگرسیون درختی و اسپیلانین (داده‌ها به طور تصادفی انتخاب شدند)



شکل ۶- نقشه رقومی ظرفیت تبادل کاتیونی خاک در پنج عمق استاندارد و کاربری اراضی

اسکورپن گردید. اجرای این مدل سه مرحله دارد. گام اول: تهیه داده‌های خاک: در این پژوهش اقدام به نمونه‌برداری از خاک‌های منطقه (۱۰۳ نقطه) گردید. پس از اندازه‌گیری ظرفیت تبادل کاتیونی در خاک‌ها، معادلات اسپیلاین با نواحی یکسان به داده برآش داده شد تا مقادیر در عمق‌های استاندارد محاسبه و استخراج شوند. گام دوم: تهیه اطلاعات محیطی: در پژوهش حاضر از انواع منابع داده‌های کمکی یا نمایندگان فاکتورهای خاکسازی از قبیل اطلاعات تصاویر ماهواره‌ای و اجزاء سرزمهین (مثل شاخص خیسی) بهره گرفته شد. گام سوم: داده‌کاوی: ارتباط دادن پارامترهای محیطی و داده‌های خاک که از تکنیک رگرسیون درختی استفاده نمود. نتایج کلی این تحقیق را می‌توان به این صورت ارائه داد:

کاربرد همزمان معادلات عمق خاک (اسپیلاین با نواحی یکسان) و مدل نقشه‌برداری رقومی (رگرسیون درختی) به ما اجازه داده که به راحتی بتوان به بررسی تغییرات عمقی و سطحی ظرفیت تبادل کاتیونی خاک بپردازیم.

باند سه تصویر ماهواره‌ای و مساحت حوزه اصلاح شده مستخرج از مدل رقومی ارتفاع به عنوان مهم‌ترین پارامترهای انتخاب شده توسط مدل رگرسیون درختی جهت پنهان‌بندی ظرفیت تبادل کاتیونی خاک می‌باشدند.

با افزایش عمق خاک میزان درصد استفاده شده از اطلاعات ماهواره‌ای کاسته و در مقابل درصد اجزاء سرزمهین در مدل پیش‌بینی مکانی ظرفیت تبادل کاتیونی خاک افزایش پیدا کرده است. تکنیک‌های پدومتری یا به عبارت دیگر تکنیک‌های نقشه‌برداری رقومی خاک می‌توانند فرآیند نقشه‌برداری خاک‌ها را در گسترهای وسیع و متشكل از هر گونه عوارض طبیعی به یکباره انجام داده، روش سنتی را ارتقاء بخشیده، سرعت عمل و کارآمدی نقشه‌ها را در انتقال داده‌ها و اطلاعات افزایش داده و قابلیت استفاده آن‌ها را برای قشر وسیعی از شاخه‌های علمی امکان‌پذیر نماید.

همچنین بالا بودن درصد رس نیز می‌تواند عامل دیگر برای بالا بودن ظرفیت تبادل کاتیونی در این بخش‌ها باشد. پایین بودن ظرفیت تبادل کاتیونی در بخش شرقی منطقه احتمالاً مربوط به درصد بالای آهک موجود در خاک این اراضی و عدم دلالت آن در ظرفیت تبادل کاتیونی خاک می‌باشد. پایین بودن ظرفیت تبادل کاتیونی در سایر قسمت‌ها می‌تواند مربوط به بافت درشت‌تر خاک در دو طرف بستر دو رو دخانه تیره و کول آباد باشد که در منطقه جریان دارند. اینی و همکاران (۲) همبستگی مثبت و معنی‌داری بین درصد رس و ظرفیت تبادل کاتیونی به دست آوردند. در اعمق پایین‌تر (عمق پنجم) روند تغییرات ظرفیت تبادل کاتیونی متفاوت است که این می‌تواند به دلیل پایین‌تر بودن دقت مدل در پیش‌بینی ظرفیت تبادل کاتیونی در این اعماق و همچنین متفاوت بودن بافت خاک در این اعماق به دلیل رسوی بودن منطقه باشد. به هر حال جهت ارزیابی تناسب اراضی برای بیشتر گیاهان (باغی و زراعی) نیاز به اطلاعات دقیق از خاک بخصوص ظرفیت تبادل کاتیونی خاک تا عمق ۱۰۰ سانتی‌متری می‌باشد. بنابراین به نظر می‌رسد تنها راه عملی و کاربردی برای مدل سازی سه بعدی (تغییرات سطحی و عمق) خاک استفاده همزمان از نقشه‌برداری رقومی خاک و معادلات عمق خاک باشد. نتایج تحقیق حاضر نشان داد که رگرسیون درختی به عنوان مدل پیش‌بینی کننده و معادله اسپیلاین با نواحی یکسان ابزاری قدرتمند در جهت برآورد ظرفیت تبادل کاتیونی خاک به صورت سطحی و عمقی می‌باشد. ملانو و همکاران (۱۸): ادگرز و همکاران (۲۷) و تقی‌زاده و همکاران (۳۷) نیز از تکنیک مشابه برای بررسی تغییرات مکانی و عمقی کربن آلی و شوری خاک استفاده کردند.

نتیجه گیری

در مطالعه حاضر اقدام به تهیه نقشه رقومی ظرفیت تبادل کاتیونی خاک در منطقه درود استان لرستان بر اساس چارچوب کاری

منابع

- 1- Akramkhanov A., Martius C., Park S.J., and Hendrickx J.M. 2011. Environmental factors of spatial distribution of soil salinity on flat irrigated terrain. *Geoderma*, 163: 55-62.
- 2- Amini M., Abbaspour K.C., Khademi H., Fathianpour N., Afyuni M., and Schulin R. 2005. Neural network models to predict cation exchange capacity in arid regions of Iran. *European J. Soil Sci.*, 56: 551-559.
- 3- Baker L., and Ellison D. 2008. Optimization of pedotransfer functions using an artificial neural network ensemble method. *Geoderma*, 144: 212–224.
- 4- Bishop T.F.A., McBratney A.B., and Laslett G.M. 1999. Modelling soil attribute depth functions with equal-area quadratic smoothing splines. *Geoderma*, 91: 27–45.
- 5- Breiman L., Friedman J.H., Olshen R.A., and Stone C.J. 1984. Classification and regression. Tress. Wadsworth, Belmont, CA.
- 6- Dehni A., and Lounis M. 2012. Remote sensing techniques for salt affected soil mapping: application to the Oran region of Algeria. *Pro. Engi.* 33: 188- 198.
- 7- Dwivedi R.S., and Sreenivas K. 1998. Delineation of salt-affected soils and waterlogged areas in the Indo-Gangetic

- plains using IRS-1C LISS-III data. *I. J. Rem. Sens.*, 14: 2739- 2751.
- 8- Elnaggar A.A. 2007. Development of predictive mapping techniques for soil survey and salinity mapping. Ph.D. dissertation, Oregon State University, Corvallis, Oregon.
 - 9- Erh K.T. 1972. Application of spline functions to soil science. *Soil Sci.*, 114: 333–338.
 - 10- Florinsky I.V., Eilers R.G., Manning G.R., and Fuller L.G. 2002. Prediction of soil properties by digital terrain modelling. *Env. Modell. Soft.* 17: 295– 311.
 - 11- Ghanbarian-Alavijeh B., Taghizadeh-Mehrjardi R., and Huang G. 2012. Estimating Mass Fractal Dimension of Soil Using Artificial Neural Networks for Improved Prediction of Water Retention Curve. *Soil Sci.*, 177: 471-479.
 - 12- Grimm R., Behrens T., Marker M., and Elsenbeer H. 2008. Soil organic carbon concentrations and stocks on Barro Colorado Island — digital soil mapping using Random Forests analysis. *Geoderma*, 146: 102–113.
 - 13- Grunwald S. 2009. Multi-criteria characterization of recent digital soil mapping and modelling approaches. *Geoderma*, 152: 95–207.
 - 14- Hengl T., Rossiter D. G., and Stein A. 2003. Soil sampling strategies for spatial prediction by correlation with auxiliary maps. *Geoderma*. 120: 75–93.
 - 15- Jenny H. 1941. Factors of Soil Formation. McGraw-Hill, New York.
 - 16- Lagacherie P. 2008. Digital soil mapping: a state of the art. P. 3-14. In: A. E. Hartemink et al. (ed.) *Digital Soil Mapping with Limited Data*. Springer Science, Australia.
 - 17- MacMillan R.A., Moon D.E., and Coupé R.A. 2007. Automated predictive ecological mapping in a forest region of B.C., Canada, 2001–2005. *Geoderma*, 140: 353–373.
 - 18- Malone B.P., McBratney A.B., Minasny B., and Laslett G.M. 2009. Mapping continuous depth functions of soil carbon storage and available water capacity. *Geoderma*, 154: 138–152.
 - 19- Manrique L.A., Jones C.A., and Dyke P.T. 1991. Predicting cation-exchange capacity from soil physical and chemical properties. *Soil Sci. Soc. Am. J.*, 55: 787-794.
 - 20- McBratney A.B., Mendonça-Santos M.L., and Minasny B. 2003. On digital soil mapping. *Geoderma*, 117: 3– 52.
 - 21- Metternicht G., and Zinck J.A. 2003. Remote sensing of soil salinity: Potentials and constraints. *Rem. Sens. Env.* 85: 1-20.
 - 22- Minasny B., McBratney A.B., and Hartemink A.E. 2010. Global pedodiversity, taxonomic distance, and the World Reference Base. *Geoderma*, 155: 132-139.
 - 23- Minasny B., McBratney A.B., Mendonca-Santos M.L., Odeh I.O.A., and Guyon B. 2006. Prediction and digital mapping of soil carbon storage in the Lower Namoi Valley. *Aus. J. Soil Res.*, 44: 233–244.
 - 24- Moran C.J., and Bui E.N. 2002. Spatial data mining for enhanced soil map modelling. *I. J. Geo. Info. Sci.*, 16: 533- 549.
 - 25- Nyssen J., Tmesgen H., Lemenih M., Zenebe A., Haregeweyn N., and Haile M. 2008. Spatial and temporal variation of soil organic carbon stocks in a lake retreat area of the Ethiopian Rift Valley. *Geoderma*, 146: 261–268.
 - 26- Odeh I.O.A., and Onus A. 2008. Spatial Analysis of Soil Salinity and Soil Structural Stability in a Semiarid Region of New South Wales, Australia. *Env. Manag.*, 42: 265–278
 - 27- Odgers N.P., Libohova Z., and Thompson J.A. 2012. Equal-area spline functions applied to a legacy soil database to create weighted-means maps of soil organic carbon at a continental scale. *Geoderma*, 190: 153–163.
 - 28- Parasuraman K., Elshorbagy A., and Si S.C. 2008. Estimating saturated hydraulic conductivity using genetic programming. *Soil Sci. Soc. Am. J.*, 71, 1676–1684.
 - 29- Ponce-Hernandez R., Marriott F.H.C., and Beckett P.H.T. 1986. An improved method for reconstructing a soil-profile from analysis of a small number of samples. *J. Soil Sci.*, 37: 455–467.
 - 30- Quinlan J.R. 2001. Cubist: An Informal Tutorial. <http://www.rulequest.com>.
 - 31- Rossiter D.G., Geomatica S., and Bogota S. 2005. Digital soil mapping: towards a multiple-use soil information system. *I. J. Geo-inform. Sci.*
 - 32- Russell J.S., and Moore A.W. 1968. Comparison of different depth weightings in the numerical analysis of anisotropic soil profile data: Transactions of the 9th International Congress of Soil Science, vol. 4, pp. 205–213.
 - 33- Ryan P.J., McKenzie N.J., O'Connell D., Loughhead A.N., Leppert P.M., Jacquier D., and Ashton L. 2000. Integrating forest soils information across scales: spatial prediction of soil properties under Australian forests. *Forest Eco. Manag.* 138: 139–157.
 - 34- Scull P., Franklin J., Chadwick O.A., and McArthur D. 2003. Predictive soil mapping: a review. *Prog. Physical Geog.*, 27: 171-197.
 - 35- Stoorvogel J.J., Kempen B., Heuvelink G.B.M., and Bruin S. 2009. Implementation and evaluation of existing knowledge for digital soil mapping in Senegal. *Geoderma*, 149: 161–170.
 - 36- Sulaeman Y., Sarwani M., Minasny B., McBratney A.B., Sutandi A., and Barus B. 2012. Soil-landscape models to predict soil pH variation in the Subang region of West Java, Indonesia. P. 317-325. In B. Minasny et al. (ed). *Digital Soil Assessment and Beyond*. CRC Press.
 - 37- Taghizadeh-Mehrjardi R., Minasny B., Sarmadian F., and Malone P.B. 2014. Digital mapping of soil salinity in Ardakan region, central Iran. *Geoderma*, 213: 15-28.

-
- 38- Vasques G.M., Grunwald S., and Sickman J.O. 2009. Modeling of soil organic carbon fractions using visible/near-infrared spectroscopy. *Soil Sci. Soc. Am. J.*, 73: 176–184.
 - 39- www.cgiar-csi.org/data/srtm-90m-digital-elevation-database
 - 40- Zhu A.X., Hudson B., Burt J., Lubich K., and Simonson D. 2001. Soil mapping using GIS, expert knowledge, and fuzzy logic. *Soil Sci. Soc. Am. J.*, 65: 1463–1472.



3D Digital Mapping of Soil Cation Exchange Capacity in Dorud, Lorestan Province

R. Taghizadeh Mehrjerdi^{1*}- A. Amirian Chekan²- F. Sarmadian³

Received:03-11-2013

Accepted:16-09-2014

Abstract

There is an increasing demand for reliable large-scale soil data to meet the requirements of models for planning of land-use systems, characterization of soil pollution, and prediction of land degradation. Cation exchange capacity (CEC) is among the most important soil properties that are required in soil databases. This paper applied a novel method for whole-soil profile predictions of CEC (to 1 m) across Dorud located in Lorestan Province. At present research, we combined equal-area spline depth functions with digital soil mapping techniques to predict the vertical and lateral variations of CEC across the study area where limited soil information exists (103 soil profiles). To model the relationship between CEC and environmental factors (i.e. Representative soil forming factors), derived from a digital elevation model and Landsat imagery, a regression tree was applied. Results indicated that some auxiliary data had more influence on the prediction model (i.e. B3 and modified catchment area). Our results also confirmed the regression tree model predicted target variable at the five specific depths with coefficient of determination of 0.84, 0.84, 0.84, 0.66, 0.27 and root mean square of 1.75, 1.84, 1.84, 2.11, and 2.16, respectively. Results showed a reasonable R^2 in first four depths ranged from 0.66 to 0.84; while, it decreases to 0.27 in the last depth. Our results also confirmed that the regression tree as a predictive model, digital soil mapping technique and equal area splines are powerful tools to predict lateral and vertical variation of CEC.

Keywords: Regression tree, Soil depth function, Digital soil mapping

1-Assistant Professor, Faculty of Agriculture and Natural Resources, University of Ardakan

(* Corresponding Author Email: Rh_taghizade@yahoo.com)

2- Assistant Professor, Faculty of Natural Resources, Behbahan Khatamolanbia University of Technology

3- Professor, Department of Soil Science, College of Agriculture and Natural Resources, University of Tehran